2017年度 化学生命工学特論第一

有機典型元素化学特論

名古屋大学 大学院工学研究科 山下 誠

授業の計画

第1回 有機典型元素化学基礎概念

第2回 各論①1,2族元素

第3回 各論②13族元素

第4回 各論③14族元素

第5回 各論④15族元素

第6回 各論⑤16,17族元素

第7回 最先端有機元素化学: 最新論文からのトピックス①

第8回 最先端有機元素化学: 最新論文からのトピックス②

小テスト・研究提案レポートの総合で成績評価を行います

教科書

野依良治・鈴木啓介・中筋一弘・柴崎正勝・ 玉尾皓平・奈良坂紘一(編) (東京化学同人) 大学院講義 有機化学I 分子構造と反応・有機金属化学 ISBN: 9784807904846

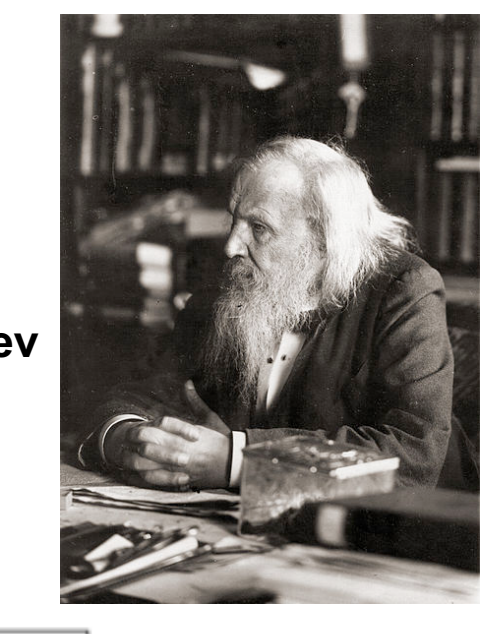
参考書

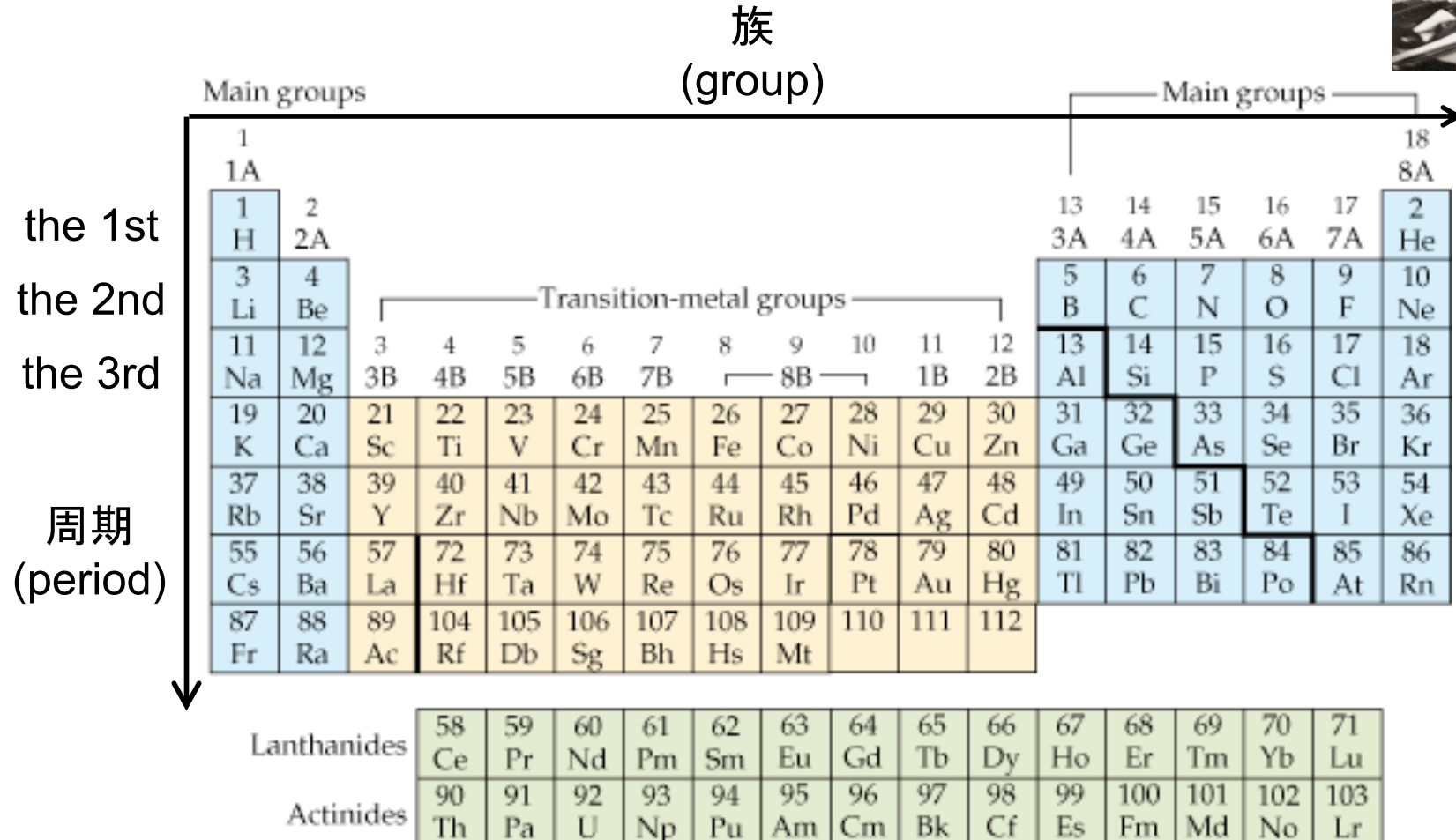
野依良治・鈴木啓介・中筋一弘・柴崎正勝・ 玉尾皓平・奈良坂紘一(編) (東京化学同人) 大学院講義 有機化学 演習編 ISBN; 9784807905874 W. Henderson(著)・三吉克彦(訳) 化学同人 典型元素の化学 (チュートリアル化学シリーズ) ISBN: 9784759810042 荻野博(著) 現代化学への入門(11) 典型元素の化合物 (岩波書店) ISBN:9784000110419

元素と周期表

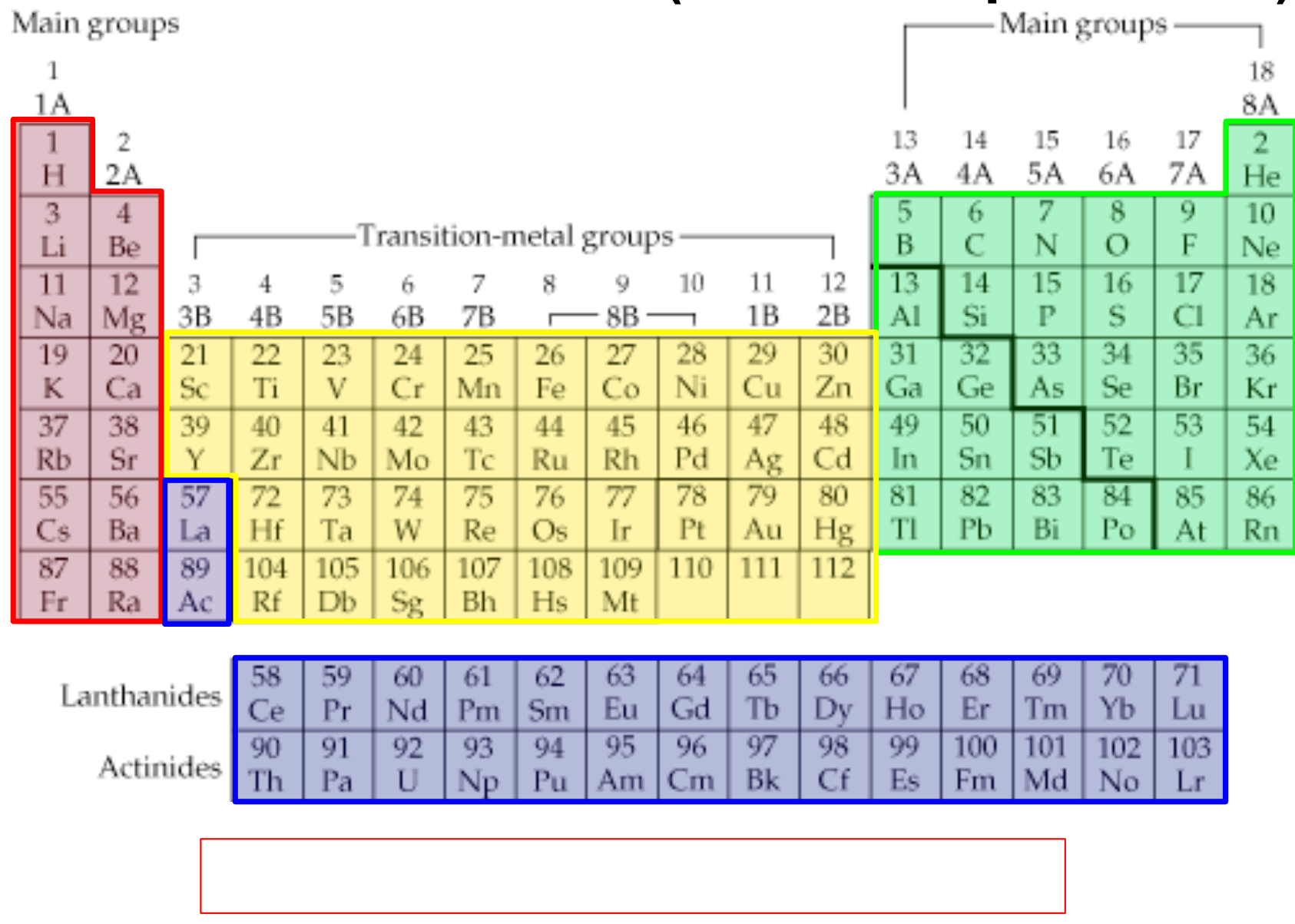
Periodic Table of Elements

Dmitri Mendeleev





周期表における典型元素(Main Group Element)

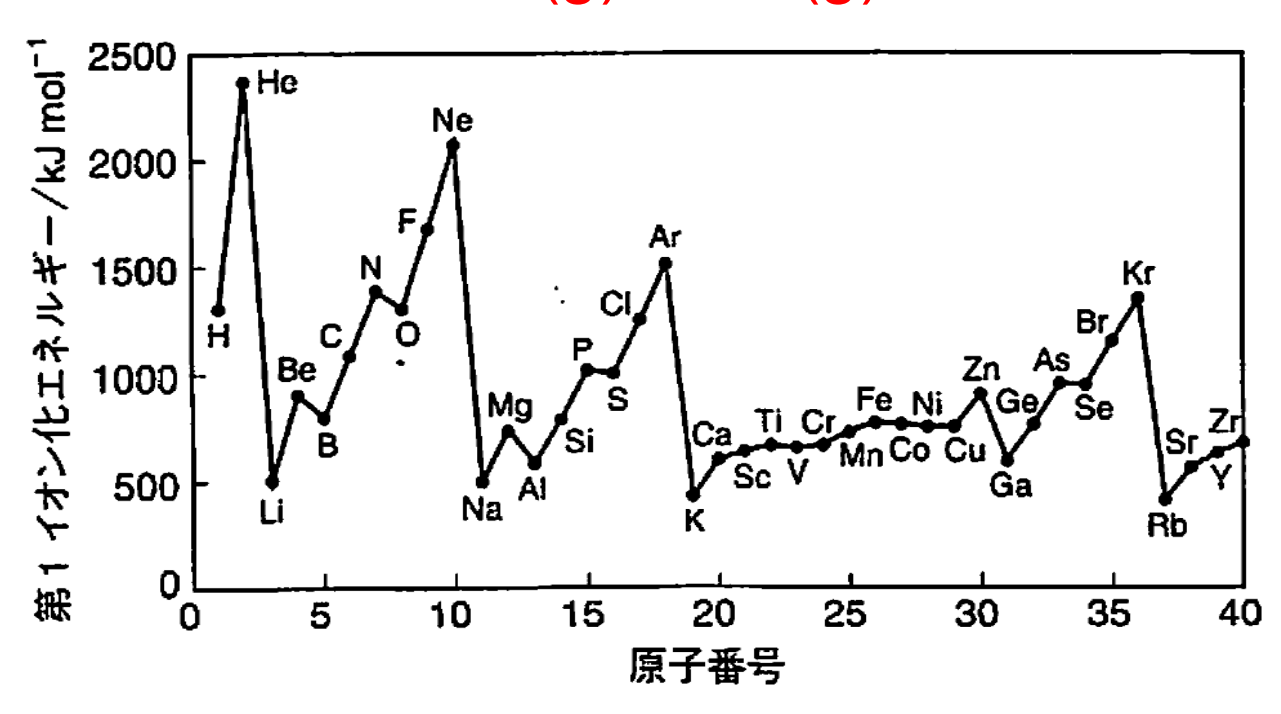


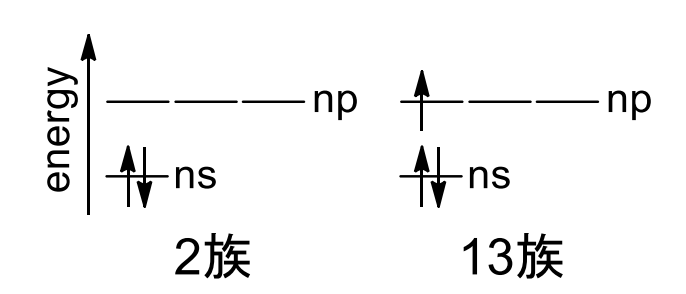
11,12族元素も典型元素と比較されることが多い

元素の特性①イオン化エネルギー

Ionization Energy (IE) =

$$E(g) \rightarrow E^{+}(g) + e^{-} \Delta H^{\circ}$$





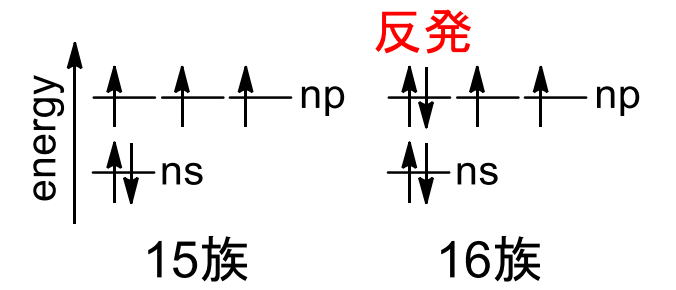


図1.8 第1イオン化エネルギーと原子番号の関係

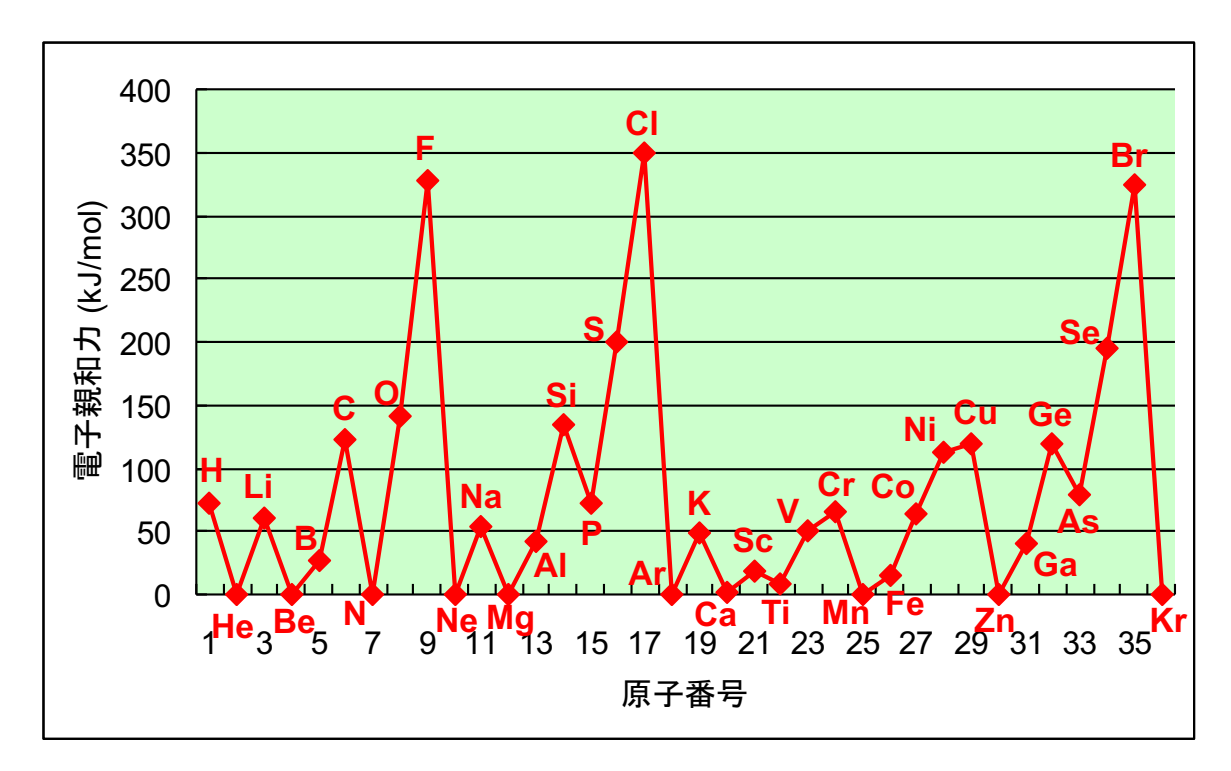
- ・同周期では原子番号増加と共にIEも増大の傾向
- ・希ガスはイオン化しにくいのでIEが大きい
- ・2族(ns²)から13族(ns²np¹)ではIEが減少する→
- ・15族(ns²np³)から16族(ns²np⁴)ではIEが減少する→

岩波講座 現代化学への入門〈11〉典型元素の化合物 荻野 博 著 岩波書店 ISBN 978-4000110419

元素の特性②電子親和力

Electron Affinity =

$$E(g) + e^- \rightarrow E^-(g) \qquad \Delta H^\circ$$



- ・値が0の元素は電子を受け取る能力が無いor測定されていない
- •最も高いのは17族(ハロゲン)
- •1族(ns¹)や14族(ns²np²)ではある程度のEAがある

 \rightarrow

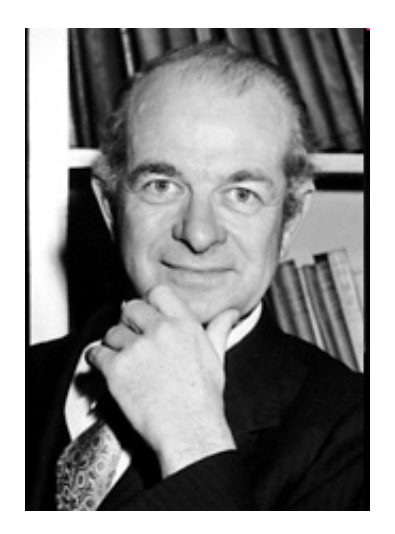
元素の特性③電気陰性度

Electronegativity =

Ē 1	2	13	14	15	16	17	18
Н							He
2.20							5.50
2.20							
Li	Be	В	С	N	0	F	Ne
0.97	1.47	2.01	2.50	3.07	3.50	4.10	4.84
0.98	1.57	2.04	2.55	3.04	3.44	3.98	
Na .	Mg	Al	Si	Р	S	CI	Ar
1.01	1.23	1.47	1.74	2.06	2.44	2.83	3.20
0.93	1.31	1.61	1.90	2.19	2.58	3.16	
Κ	Ca	Ga	Ge	As	Se	Br	Kr
0.91	1.04	1.82	2.02	2.20	2.48	2.74	2.94
0.82	1.00	1.81	2.01	2.18	2.55	2.96	
Rb	Sr	ln	Sn	Sb	Te	l	Xe
0.89	0.99	1.49	1.72	1.82	2.01	2.21	2.40
0.82	0.95	1.78	1.96	2.05	2.1	2.66	2.6
Cs	Ba	TI	Pb	Bi	Ро	At	Rn
0.86	0.97	1.44	1.55	1.67	1.76	1.96	2.06
0.79	0.89	2.04	2.33	2.02	2.0	2.2	
Fr	Ra						
0.86	0.97						
0.7	0.89						

注) 上段の数字は Allred と Rochow の値. 下段の数字は Pauling の値.





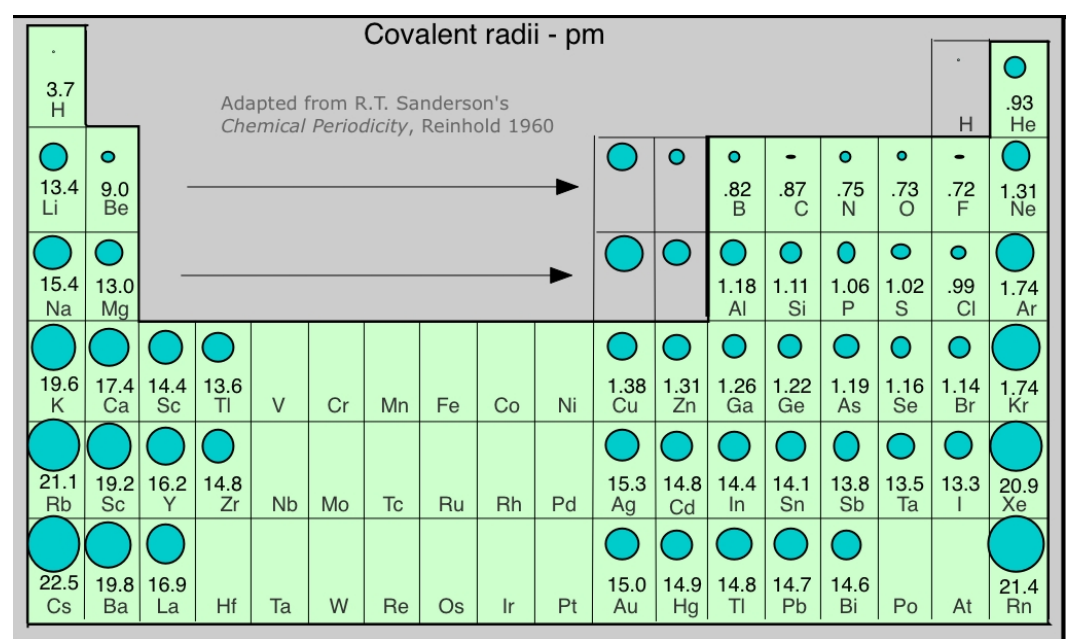
Linus C. Pauling

Nobel Prize 1954



Paulingの値が使われることが多いが Mullikenの値や AllredとRochowの値も使われる

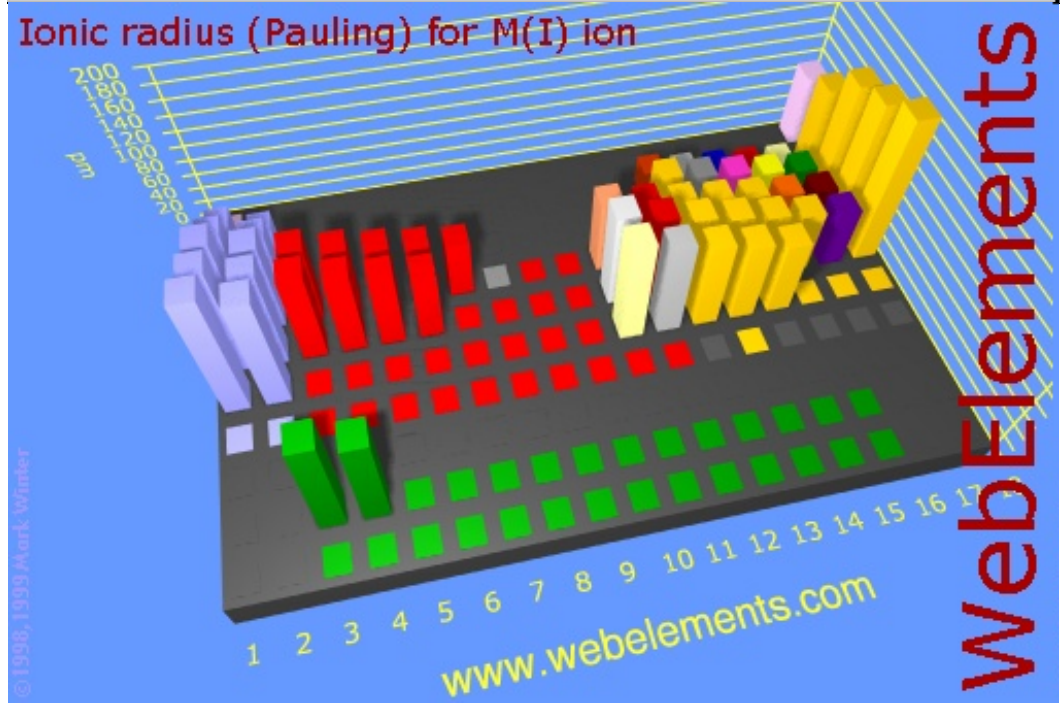
元素の特性④原子半径とイオン半径



原子半径として使われるのは 共有結合半径(covalent radius)

- 右に行くほど小さい→
- 上に行くほど小さい→

Online Textbook: Atomic Structure and the Periodic Table http://www.chem1.com/acad/webtext/atoms/index.html



- 右に行くほど小さい→
- ・上に行くほど小さい→
- イオンの価数が上がると小さい

\rightarrow			
---------------	--	--	--

WebElements: the periodic table on the web http://www.webelements.com/

元素の特性⑤ランタノイド収縮と相対論効果

4f軌道は遮蔽効果が小さいため、5d軌道や6p軌道の電子を引きつけて原子サイズが小さくなる

15 25 2p 35 3p 3d 45 4p 4d 4f 55 5p 5d 5f 5g 65 6p 6d 6f 6g 6h 75 7p 7d 7f 7g 7h

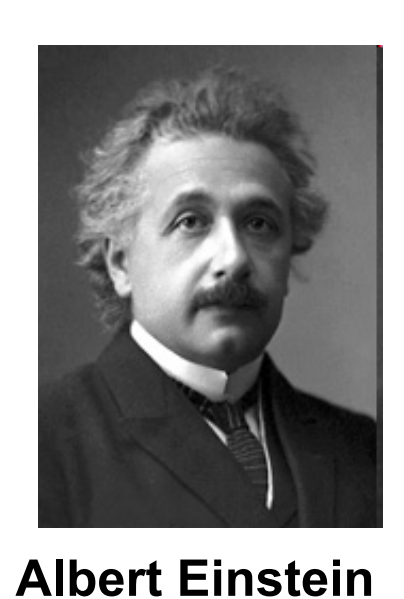
相対性理論によると、静止質量 m_0 の電子が速度vで運動していると見かけの質量はmになり、この際両者は次の関係にある(c=光速)。

$$m = \frac{m_0}{\sqrt{1 - \left(\frac{V}{C}\right)^2}}$$

 $4\pi \varepsilon_0 \hbar$ ここでボーア半径 a_0 と電子の質量の関係は $a_0 = \frac{4\pi \varepsilon_0 \hbar}{m_e e^2}$ であり、見かけの質量が増すとボーア半径 a_0 が小さくなる。 $m_e e^2$ であり、 e_0 : 真空の誘電率, h: 換算Planck定数, m_e : 電子の質量, e: 電子の電荷



重い元素では、陽子数が多いことで軌道の電子が加速され [v=Zc/137; Z=原子番号]、

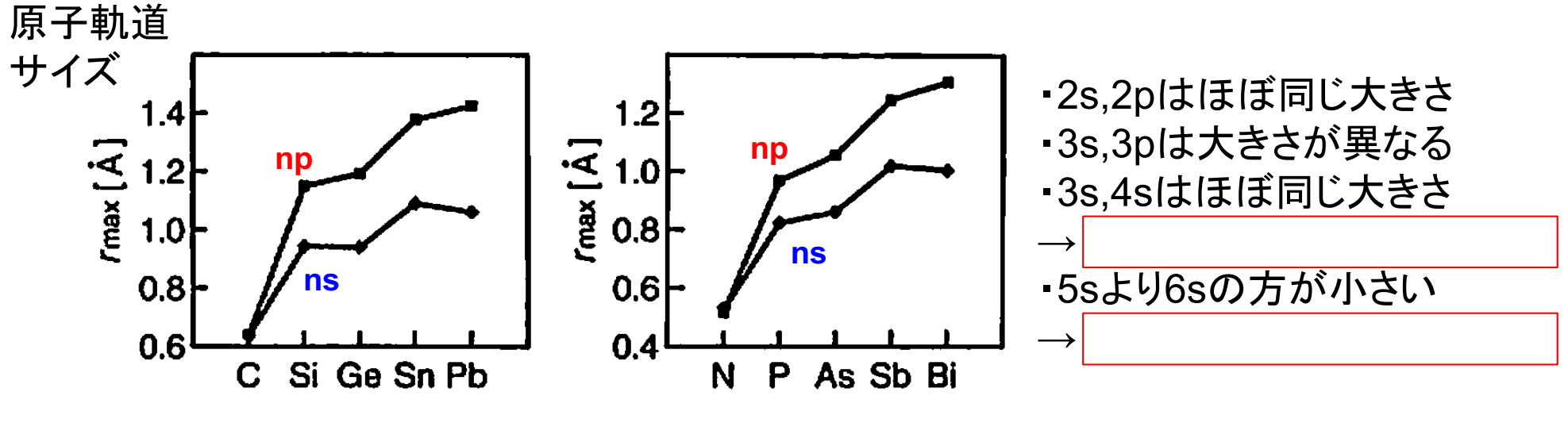


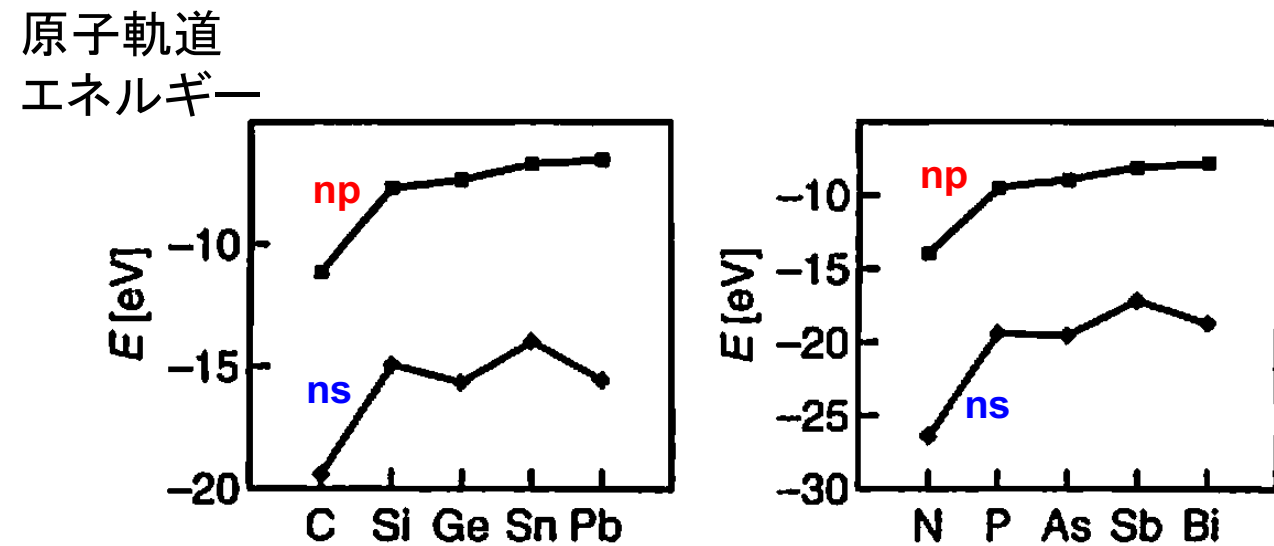
Nobel Prize



Pyykko, P., Chem. Rev. 1988, 88, 563-594. 第1章「高周期元素の特徴」 笹森 貴裕 著 有機金属化学の最前線—多様な元素を使いこなす 宮浦憲夫・鈴木寛治・小澤文幸・山本陽介・永島英夫 編 東京化学同人 ISBN 978-4807913442

元素の特性⑥原子軌道サイズとエネルギー

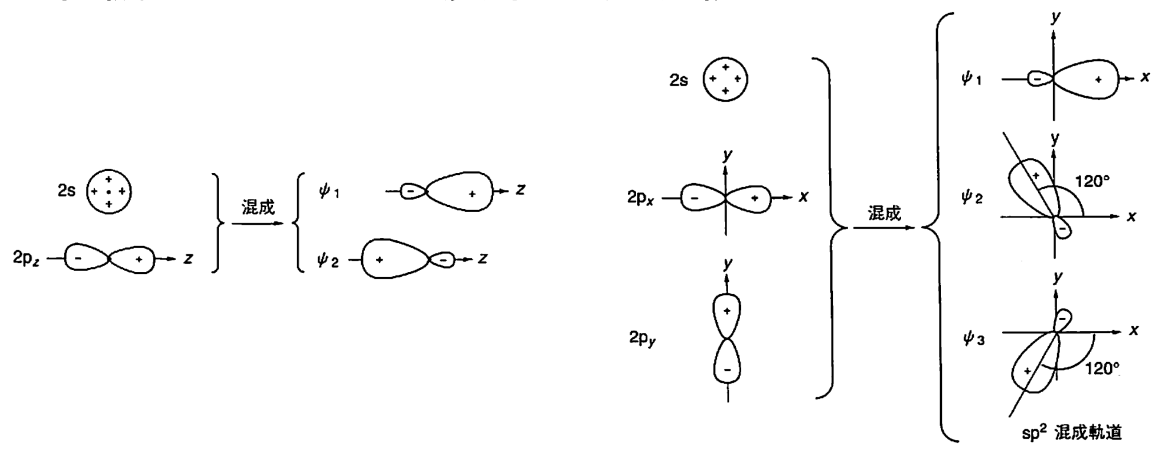


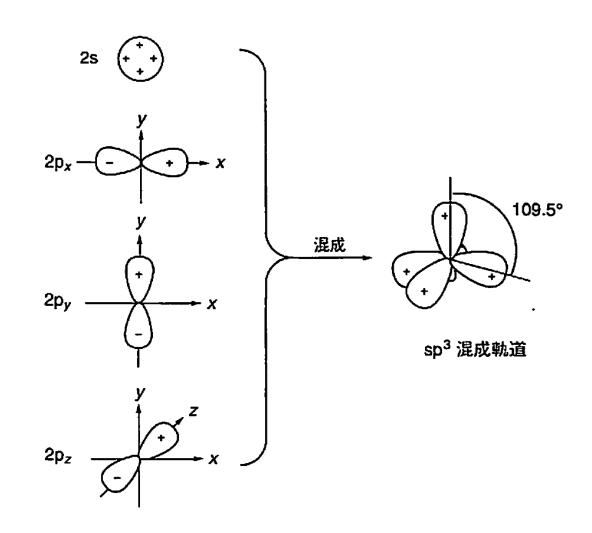


Pyykko, P., Chem. Rev. 1988, 88, 563-594. 第1章「高周期元素の特徴」 笹森 貴裕 著 有機金属化学の最前線—多様な元素を使いこなす 宮浦憲夫・鈴木寛治・小澤文幸・山本陽介・永島英夫 編 東京化学同人 ISBN 978-4807913442

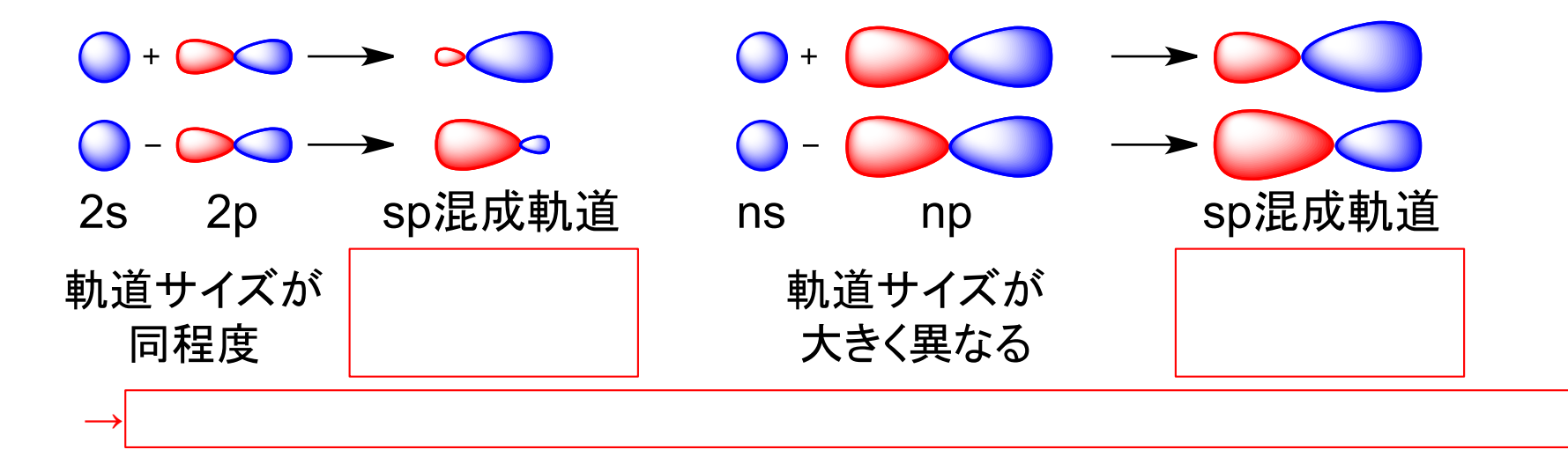
元素の特性⑦混成軌道と元素周期

有機化学における炭素の混成軌道





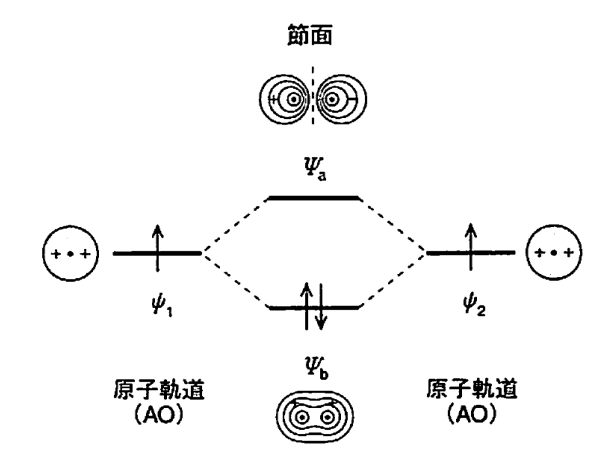
第2周期元素と第3周期以降の元素の混成軌道



第1章「高周期元素の特徴」 笹森 貴裕 著 有機金属化学の最前線—多様な元素を使いこなす 宮浦憲夫・鈴木寛治・小澤文幸・山本陽介・永島英夫 編 東京化学同人 ISBN 978-4807913442

典型元素化合物の構造①結合性軌道と反結合性軌道

水素分子の分子軌道 =水素原子の1s原子軌道2つから 結合性軌道 ψ_b と反結合性軌道 ψ_a ができる



2つのp軌道同士の相互作用により 結合性軌道と反結合性軌道ができる p軌道同士の向きの違いで σ , σ *および π , π *ができる

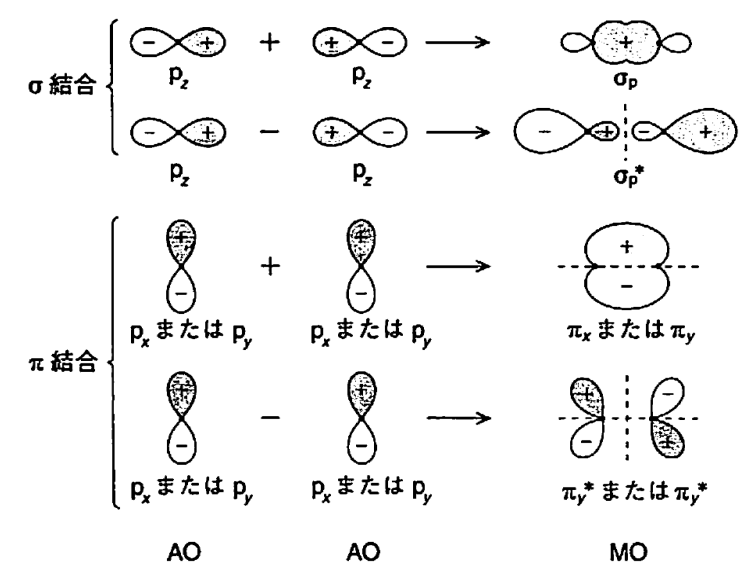


図2.2 2つのp軌道間の相互作用によってできる分子軌道

2つの軌道と2つの電子を使って結合 → 電子の収容されていない

岩波講座 現代化学への入門〈11〉典型元素の化合物 荻野 博 著 岩波書店 ISBN 978-4000110419

構造②結合の極性(イオン性)

電気陰性度の異なる原子が結合すると その間にできる結合は分極する(=極性を持つ)

$$X^{\delta-}$$
— $C^{\delta+}$
X = N, O, F, Cl, (S,) Se, Br, (I)

M^{δ+}一C^{δ−} M = 左記以外の元素

Paulingの電気陰性度が 炭素よりも高い原子たち

注意:XやM上の置換基や配位子により分極の度合いが異なる =

典型元素および遷移金属元素と炭素の結合の違い

表 7·1 元素一炭素結合の結合解離エネルギー(D)の周期依存性[†]

D, kJ mol ⁻¹	M-C 結合	D, kJ mol ⁻¹
358 311 249 217	4 族遷移金属 Ti[CH ₂ C(CH ₃) ₃] ₄ Zr[CH ₂ C(CH ₃) ₃] ₄ Hf[CH ₂ C(CH ₃) ₃] ₄	198 249 266
	358 311 249	4 族遷移金属 Ti[CH ₂ C(CH ₃) ₃] ₄ 311 Zr[CH ₂ C(CH ₃) ₃] ₄ 249 Hf[CH ₂ C(CH ₃) ₃] ₄ 217

典型元素は周期が上がると

遷移金属は周期が上がると

野依·鈴木·中筋·柴崎·玉尾·奈良坂東京化学同人 大学院講義 有機化学I p302

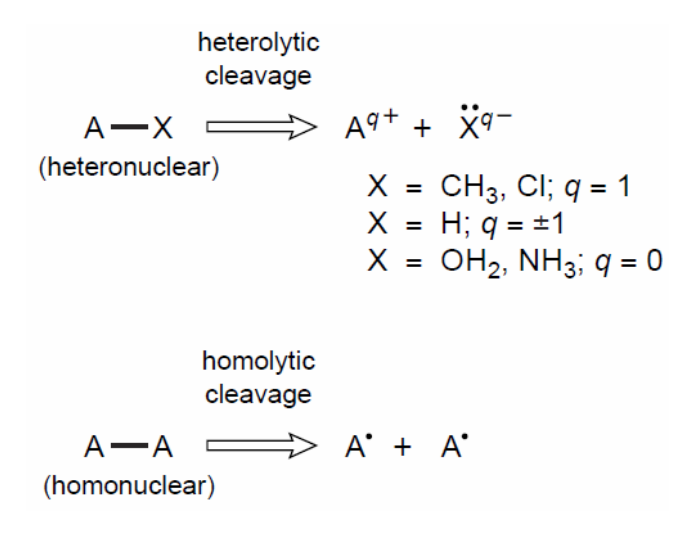
[†] J. E. Huheey, E. A. Keiter, R. L. Keiter, "Inorganic Chemistry", 4th Ed., p. 656, Harper Collins College Publishers (1993) による.

構造③原子価・酸化数・結合数・配位数(1)

原子価(valency, valence) どちらかというと古典的な概念

酸化数(oxidation #)

= 注目した原子に結合した原子が閉殻構造を持つように2中心2電子結合の2電子を 不均等開裂させて電気陰性度の高い方へ移動させた際の中心原子の電荷



注1. 水素は+1または-1となる

注2. 同じ原子どうしの結合は均等開裂させる

原子価=酸化数とならない場合

- (1) 水素が+1として抜けるとき (例: NH₄+)
- (2) 同じ原子どうしの結合があるとき(例: CMe₄)
- (3) 逆に分極した原子があるとき(例: CH₂Cl₂)

構造④原子価・酸化数・結合数・配位数(2)

結合数(# of bonds)

= 注目した原子が持つ2中心2電子結合の数

注:2重結合は2,3重結合は3と数える

配位数(coordination #)

= 注目した原子に結合している原子の数

厉	ほ子価=結合数とならない場合
•	

原子価=配位数とならない場合

•

Molecule	No. of Electrons in Valence Shell of Free Atom (N)	No. of Nonbonding Electrons on Atom in Molecule	Valence	Oxidation Number	No. of Bonds	Coordination Number
AH _n : Exam	ples Where Valence =	Oxidation Number	= No. of Bonds	= Coordination Number		
BH ₃	3	0	3	+3	3	3
CH_4	4	0	4	-4	4	4
NH_3	5	2	3	-3	3	3
OH_2	6	4	2	-2	2	2
FH	7	6	1	-1	1	1
Examples V	Vhere Valence ≠ Oxid	dation Number				
\rightarrow H ₃ C-CH ₃	4	0	4	-3	4	4
→ CMe ₄	4	0	4	0	4	4
→ CH ₂ Cl ₂	4	0	4	0	4	4
[NH ₄] ⁺	5	0	5	-3	4	4
→ [OH ₃] ⁺	6	2	4	-2	3	3
Examples V	Vhere Valence ≠ Numb	oer of 2-Center, 2-Electi	ron Bonds			
→ [BH₄] ⁻	3	0	3	+3	4	4
→ [NH₄] ⁺	5	0	5	-3	4	4
Examples V	Vhere Valence ≠ Coord	dination Number				
\rightarrow H ₂ C=CH ₂	4	0	4	-2	4	3
HC≡CH	4	0	4	-1	4	2
\rightarrow H_3NBH_3	3	0	3	+3	4	4

構造⑤VSEPR則

原子価殻電子対反発則 (<u>v</u>alence <u>s</u>hell <u>e</u>lectron <u>p</u>air <u>r</u>epulsion rule)

\longrightarrow			

基本的な考え方:電子対同士が最も遠くなる空間的な配置を考えると実際の構造に近くなる

表1.1 分子あるいはイオンの構造

中心原子上 の電子対数	結 合 性 電子対数	非結合性 電子対数	構造	実例
2	2	0	直線	$BeCl_{2(g)}$
3	3	0	正三角形	BF_3
3	2	1	屈曲(V 字型)	$SnCl_{2(g)}$
4	4	0	正四面体	CCl_4
4	3	1	三角ピラミッド	NH_3
4	2	2	屈曲(V 字型)	$\mathrm{H_{2}O}$
5	5	0	三角両錐(tbp)a)	PF_5
5	4	1	シーソー型 b)	BrF_4^+ , SF_4
5	3	2	T 字型	BrF_3
5	2	3	直線	XeF ₂ , I ₃
6	6	0	八面体	SF ₆ , PF ₆
6	5	1	正方錐 ^{c)}	IF_5
6	4	2	正方形	XeF ₄ , IF ₄

a) $[InCl_s]^{2-}$ や $[SbPh_s]$ のように 5 組の電子対をもつが正方錐構造(中心原子は正方面から浮いている)をとるものも例外的にある.

手順

- 1) 化合物のLewis構造を書く
- 2) π結合は1本の結合とカウント
- 3) 中心原子の電子対の数をカウント
- 4) 電子対反発の相対的大きさを考えて 全ての電子対を配置 LP同士>LPとBP>BP同士 (LP: lone pair, BP: bonding pair)

例題:SF₄の構造を予測せよ

W. Henderson(著)・三吉克彦(訳) 化学同人 典型元素の化学 (チュートリアル化学シリーズ)

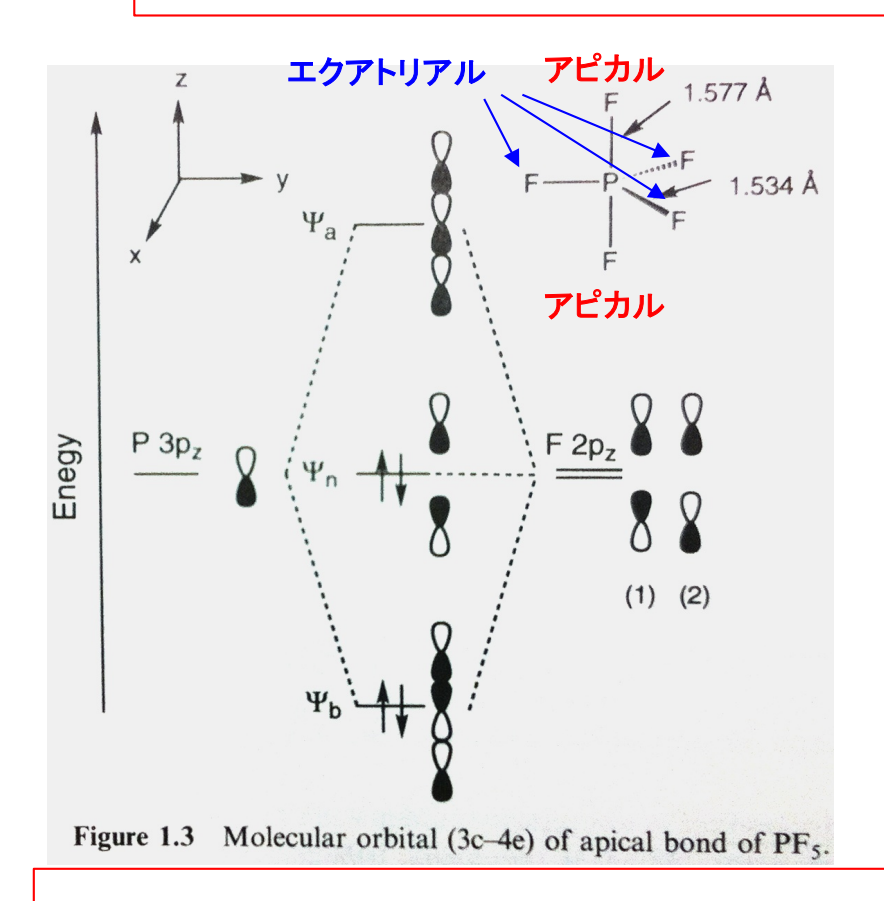
b) バタフライ構造または擬三角両錐構造ともいう.

c) 1組の孤立電子対との反発を避けるように、中心原子は四角平面より沈んでいる(四角平面内の置換基が孤立電子対とは反対側に反る)。

構造⑥超原子価化合物

超原子価化合物(hypervalent compounds)

例:



Chemistry of Hypervalent Compounds Kin-ya Akiba Ed., Wiley-VCH, 1999

PF₅の結合の性質

- (1) エクアトリアル(eq)はsp²混成軌道により形成
- (2) アピカル(ap)はリンのp軌道一つとフッ素のp軌道二つから形成される3中心4電子結合である
- (3) eqとapは素早い交換を起こしている

1) 擬回転機構(Berry pseudorotation)

$$\begin{bmatrix} 0 & & & & & \\ & & & & \\ & & & & \\ & & & & \\ & & & & \\ & & & & \\ & & & & \\ \end{bmatrix}^{\ddagger} \longrightarrow \begin{bmatrix} 3 & & & & \\ & & & \\ & & & \\ & & & \\ \end{bmatrix}^{\ddagger} \longrightarrow \begin{bmatrix} 3 & & & & \\ & & & \\ & & & \\ & & & \\ \end{bmatrix}^{\ddagger} \longrightarrow \begin{bmatrix} 3 & & & & \\ & & & \\ & & & \\ & & & \\ \end{bmatrix}^{\ddagger} \longrightarrow \begin{bmatrix} 3 & & & & \\ & & & \\ & & & \\ \end{bmatrix}^{\ddagger} \longrightarrow \begin{bmatrix} 3 & & & & \\ & & & \\ & & & \\ \end{bmatrix}^{\ddagger} \longrightarrow \begin{bmatrix} 3 & & & & \\ & & & \\ & & & \\ \end{bmatrix}^{\ddagger} \longrightarrow \begin{bmatrix} 3 & & & & \\ & & & \\ & & & \\ \end{bmatrix}^{\ddagger} \longrightarrow \begin{bmatrix} 3 & & & & \\ & & & \\ & & & \\ \end{bmatrix}^{\ddagger} \longrightarrow \begin{bmatrix} 3 & & & & \\ & & & \\ & & & \\ \end{bmatrix}^{\ddagger} \longrightarrow \begin{bmatrix} 3 & & & & \\ & & & \\ & & & \\ \end{bmatrix}^{\ddagger} \longrightarrow \begin{bmatrix} 3 & & & & \\ & & & \\ & & & \\ \end{bmatrix}$$

三方両錐形構造(TBP)

四万錐形構造(SP)

三方両錐形構造(TBP)

2) 木戸回転機構(turnstile)

三方両錐形構造(TBP)

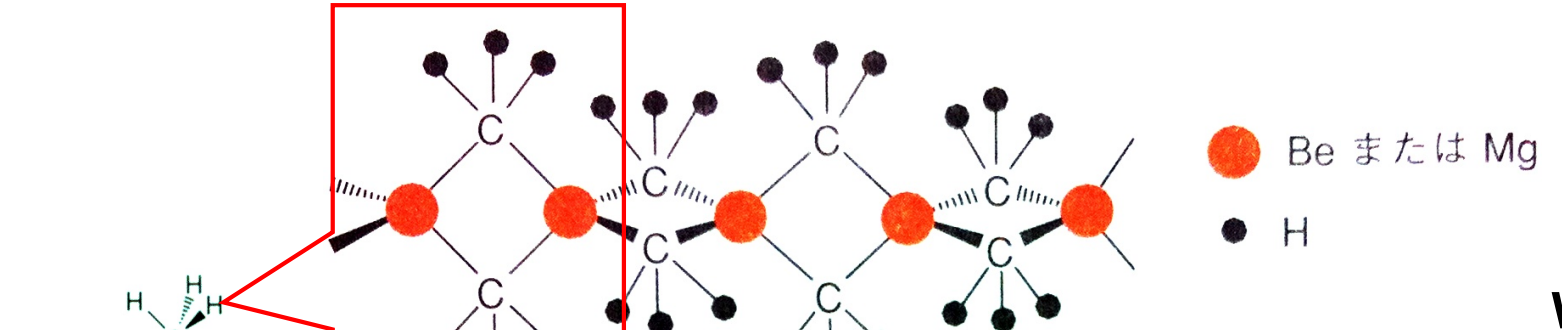
=方両錐形構造(TBP)

図 3・14 5配位超原子価化合物の位置異性化機構

第3章「高配位典型元素化合物の化学」山本陽介 著 有機金属化学の最前線—多様な元素を使いこなす 宮浦憲夫・鈴木寛治・小澤文幸・山本陽介・永島英夫 編 東京化学同人 ISBN 978-4807913442

構造⑦電子欠損型化合物の会合

Be(CH₃)₂の構造





William Lipscomb

Nobel Prize 1976



W. Henderson(著)・三吉克彦(訳) 化学同人 典型元素の化学 (チュートリアル化学シリーズ)

CH₅+およびB₂H₆の構造

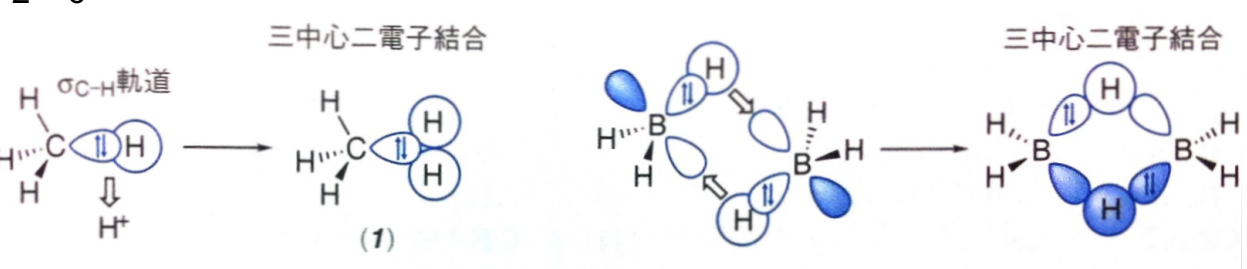
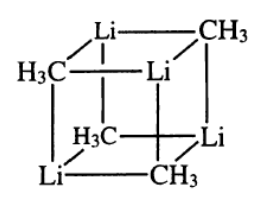


図 $3\cdot 1$ $CH_5^+(I)$ とジボランにおける三中心二電子結合の軌道概念図

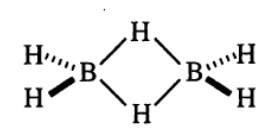
第3章「高配位典型元素化合物の化学」山本陽介 著 有機金属化学の最前線—多様な元素を使いこなす 宮浦憲夫・鈴木寛治・小澤文幸・山本陽介・永島英夫 編 東京化学同人 ISBN 978-4807913442

構造⑧結合の実線および破線表記

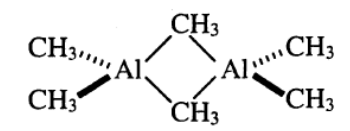
(a) (CH₃Li)₄



(b) B_2H_6



(c) $[(CH_3)_3Al]_2$



(d) (LiCuR₂)₂



(e) $closo-B_{12}H_{12}^{2-}$ (各頂点に BH を有する)



(f) 5 配位ケイ素化合物

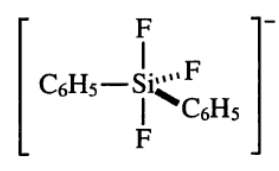


図 7・2 実線表記する電子欠損結合化合物 (a)~(e) および電子余剰結合化合物 (f) の例

- (a) 水素結合
 - х-н--- Ү

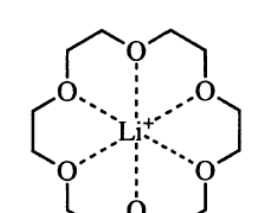
(X, Y は電気陰性度 \ (の大きい元素



(b) 溶媒和



(e) 電子の非局在化の表記



(c) Lewis 酸による活性化



正確な表記法 (矢印を使用)



通常用いられる簡略表記法 (破線で表記)

(f) 遷移状態



Charles Pedersen Nobel Prize 1987

(d) アゴスティック 相互作用













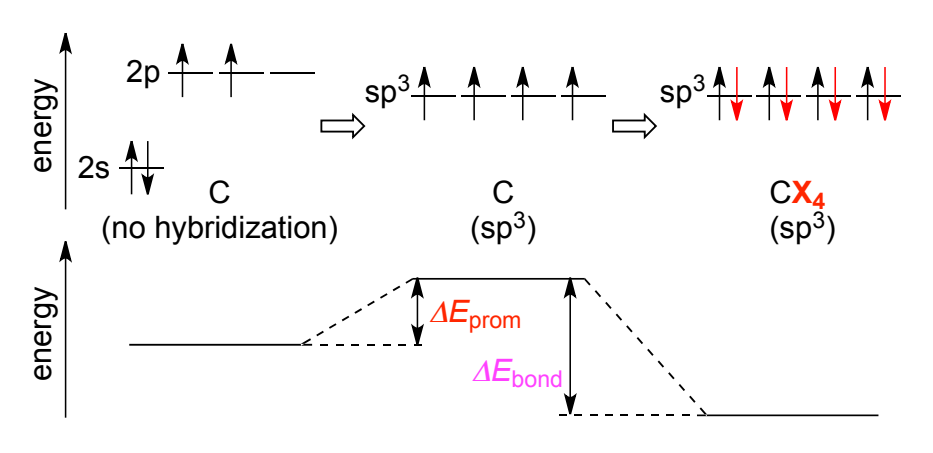


図 7・3 破線表記する構造の例

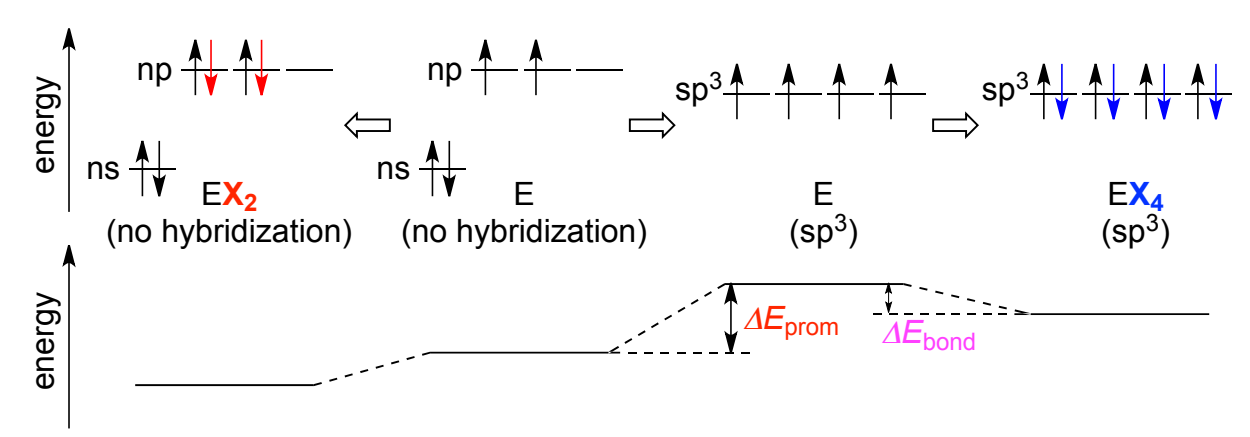
構造⑨重い元素と酸化数

→第3周期以降の元素はその軌道サイズの差により 混成軌道を形成しにくい(今回の資料p10参照)

炭素と重い14族元素の軌道エネルギーおよび分子全体のエネルギー図



軽い元素はsp³混成軌道を 作る時の不安定化 (昇位エネルギー)を 補って余りある 結合エネルギーが得られる



低酸化数化合物の例 TICI, SnCI₂, PbCI₂, GeCI₂(dioxane) 炭素置換でも TIR, PbR₂などは安定

重い元素はsp³混成軌道が大きすぎて 結合エネルギーが昇位エネルギーを 補いきれないため混成せずに結合する

第1章「高周期元素の特徴」 笹森 貴裕 著 有機金属化学の最前線—多様な元素を使いこなす 宮浦憲夫・鈴木寛治・小澤文幸・山本陽介・永島英夫 編 東京化学同人 ISBN 978-4807913442

構造⑪重い元素の多重結合

第2周期元素

第3周期元素

第2周期元素

第3周期元素

$$R-C\equiv C-R$$

$$R$$
 $Si \equiv Si$
 $R = Si(CHSiMe_3)_2^i Pr$
Science **2004**, 305, 1755-1757.

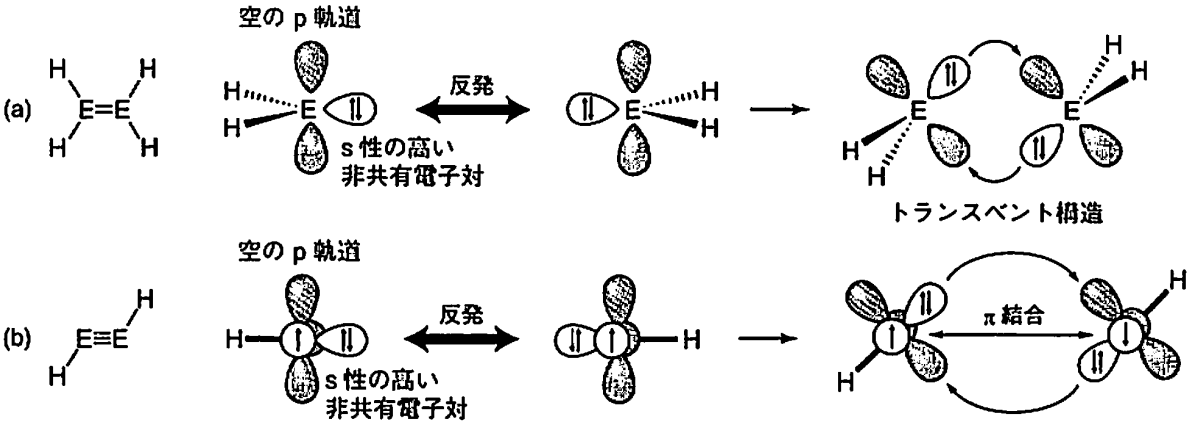
トランスベント構造

Science 1981, 214, 1343-1344.

$$R$$
/
P=P
/
R R = 2,4,6- t Bu₃C₆H₂

J. Am. Chem. Soc. 1981, 103, 4587-4589.

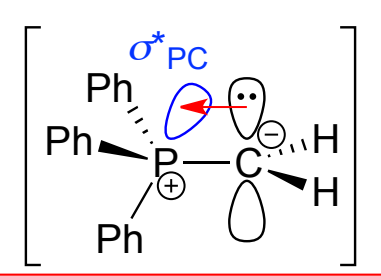
分子軌道による非平面性の説明



第1章「高周期元素の特徴」 有機金属化学の最前線―多様な元素を使い 宮浦憲夫・鈴木寛治・小澤文幸・山本陽介・永島英夫 東京化学同人 ISBN 978-4807913442

構造⑪重い元素の置換基効果

例:Wittig反応剤であるイリドは安定化されたカルボアニオンである







Georg Wittig Nobel Prize 1979

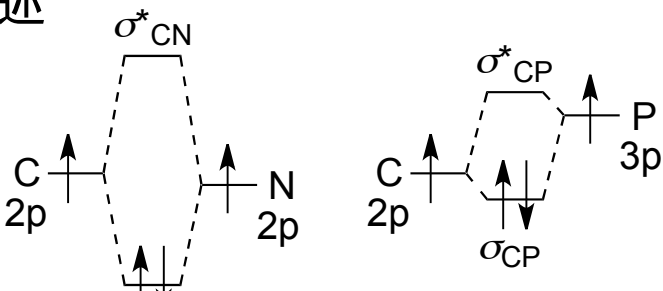
β-位に対してはカチオン安定化効果がある

$$R_{3} \stackrel{R^{1}}{\longrightarrow} R_{3} \stackrel{-L}{\longrightarrow} R_{3} \stackrel{R^{1}+Nu}{\longrightarrow} R_{3} \stackrel{R^{1}}{\longrightarrow} R_{2} \stackrel{R^{1}}{\longrightarrow} R_{2} \stackrel{R^{1}}{\longrightarrow} R_{3} \stackrel{R^$$

$$R_3$$
Si $\xrightarrow{R^1}$ R_3 Si $\xrightarrow{R^2}$ R_3 Si $\xrightarrow{R^2}$ R_3 Si $\xrightarrow{R^2}$ R_3 Si $\xrightarrow{R^2}$ R_2

$$\begin{bmatrix} R & & & \\ R & & & \\ R & & & \\ R_3Si & & & \end{bmatrix}$$

分子軌道による記述



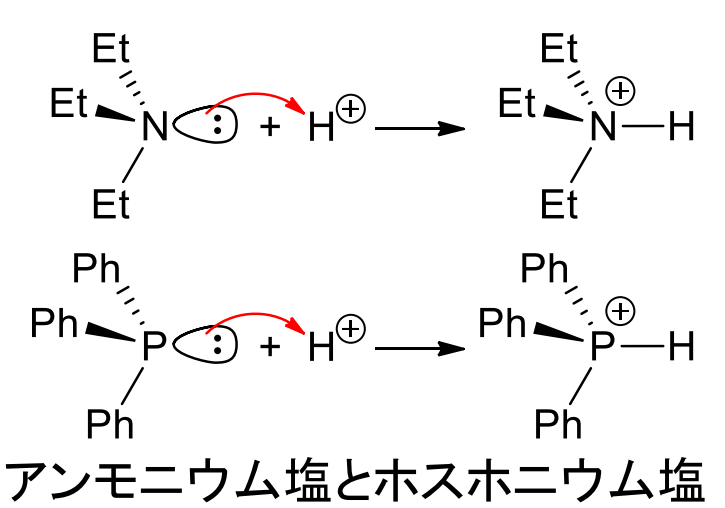
野依·鈴木·中筋·柴崎·玉尾·奈良坂 東京化学同人 大学院講義 有機化学I p343-347

典型元素化合物の反応①ルイス酸とルイス塩基

典型元素化合物の反応は有機化学反応と同様に考えることが可能

例:15族元素のプロトン化

例:16族元素によるカルボニル攻撃



Et Et
$$R' \rightarrow R'$$
 $R' \rightarrow R'$ $R' \rightarrow R'$

アセタールとジチオアセタール

例:スルフェン酸とセレネン酸の脱離によるアルケン生成

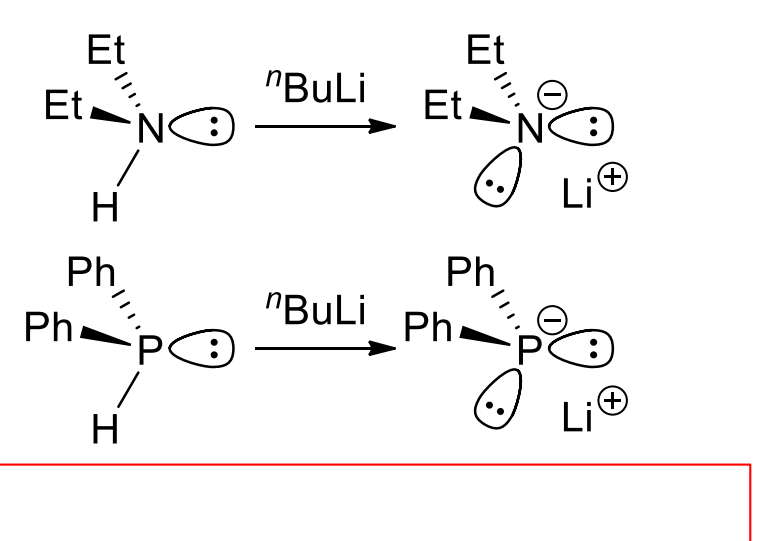
$$R \xrightarrow{\downarrow \oplus} Se \xrightarrow{} Ar \xrightarrow{} Se \xrightarrow{} OH$$

$$R \xrightarrow{\downarrow \oplus} Ar \xrightarrow{} O-25 °C$$

$$R \xrightarrow{} + Ar \xrightarrow{} Se \xrightarrow{} OH$$

反応②酸化と還元

例: 脱プロトン化は中心元素の酸化数が減る



例:酸化は周期により受けやすさが違う

Et
$$H_2O_2$$
 Et O
Et O
Et O
Ph O

例:還元によるWurtz型カップリング とアニオン生成

$$R-CH_2-CI \xrightarrow{Na} R-CH_2-CH_2-R$$

$$R_3$$
Si-CI $\xrightarrow{\text{Na}}$ R_3 Si-Si R_3

$$R-CH_2-CI \xrightarrow{Li} R-CH_2-Li \xrightarrow{} R-C \xrightarrow{\bigcirc} Li^{\oplus}$$

$$R_2$$
Si-Cl \xrightarrow{Li} R_2 Si-Li $\xrightarrow{}$ R_2 Si $\xrightarrow{}$ Li $^{\oplus}$ Ph

反応③酸化とリガンドカップリング: 超原子価化合物

酸化剤PCI₅の合成

酸化剤Dess-Martin periodinaneの合成

超原子価化合物上での配位子どうしのカップリング =リガンドカップリングと呼ばれる

